

**В.М. Гелетій, Я.М. Новіцький, В.В. Федик**  
 Національний університет “Львівська політехніка”,  
 кафедра деталей машин

## КОМП’ЮТЕРНЕ МОДЕЛЮВАННЯ НАРУЖЕНО-ДЕФОРМОВАНОГО СТАНУ МОДИФІКОВАНОГО РОЛИКА ОПОРНО-ПОВОРОТНОГО ПРИСТРОЮ АВТОКРАНІВ

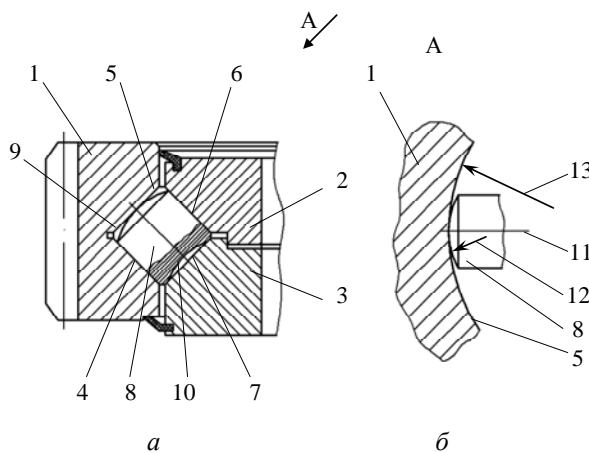
© Гелетій В.М., Новіцький Я.М., Федик В.В., 2013

**Проведено аналіз контактної взаємодії елементів опорно-поворотного пристрою автокранів. Проведені дослідження дають необхідну інформацію для адекватного кінцево-елементного моделювання контактної взаємодії елементів опорно-поворотних пристрій автокранів і дослідження впливу геометричних параметрів модифікованих роликів на їх несучу здатність.**

**The analysis of the contact of the modified elements of turning support of truck cranes has been conducted. The conducted research gives the necessary information for the adequate finite-element modeling of the contact of elements of turning support of truck cranes. The influence of geometrical parameters of the modified rollers on their bearing strength is investigated.**

**Постанова проблеми.** Опорно-поворотні пристрої належать до одних з найнавантаженіших і найвідповіальніших частин підіймально-транспортних засобів. Основна їх функція полягає у рухомому з'єднанні поворотної і неповоротної рам крана, сприймання основного навантаження від вантажу та передавання його на рухому частину машини. У конструкціях автомобільних кранів здебільшого застосовуються роликові опорно-поворотні пристрої, які мають істотно більшу навантажувальну здатність, ніж кулькові, але в них відбувається геометричне ковзання у зоні контакту. Це призводить до спрацювання контактних поверхонь бігових доріжок кілець.

Один із шляхів зменшення тертя між елементами опорно-поворотного пристрою – модифікація торців робочих роликів (рис. 1). Опорно-поворотний пристрій складається із нерухомого 1 і рухомих 2 і 3 кілець. Поверхні робочих доріжок 4, 5, 6 і 7 прямолінійного профілю, а циліндричні тіла кочення 8 з торцевою зовнішньою опуклою сферичною поверхнею 9 і торцевою внутрішньою увігнутою сферичною поверхнею 10. Під час роботи ролики обертаються навколо власної осі 11.



*Рис. 1. Принципова конструкція опорно-поворотного пристрою з модифікованими роликами:*  
*а – загальний вигляд у перерізі; б – вигляд по напряму А (стрілка А)*  
*на внутрішню поверхню бігової доріжки у місці дотику ролика*

Запропонована форма роликів з торцевою зовнішньою опуклою сферичною поверхнею і торцевою внутрішньоюувігнутою сферичною поверхнею істотно зменшує відносне ковзання. Однак у цьому випадку необхідні дослідження впливу зміни геометричних і кінематичних чинників на напружене-деформований стан елементів опорно-поворотних пристроїв автокранів.

У [1, 2] досліджувались навантаженність і спрацювання роликових опорно-поворотних пристроїв, однак в них недостачно повно розглянуто розподіл контактних напружень по поверхні роликів. Окрім того, можливості застосуваних методів опору матеріалів і будівельної механіки для розрахунку таких конструкцій є доволі обмеженими, особливо щодо врахування нелінійності деформацій і статичної невизначеності конструкцій.

**Мета роботи** – провести аналіз контактної взаємодії модифікованих елементів опорно-поворотного пристрою автокранів за допомогою ком’ютерного моделювання з використанням методу скінченних елементів і сучасних програмних продуктів, а також дослідити адекватність кінцево-елементного моделювання і вплив багатьох геометричних параметрів роликів на їх несучу здатність.

**Основний матеріал.** Особливість розрахунку контактних задач методом скінченних елементів (МСЕ) полягає у співмірності ширини контактної площинки із розміром сітки скінченних елементів. Як відомо з [5], адекватні результати можна отримати лише за співвідношення ширини контактної площинки до величини діагоналі скінченного елемента в пропорції 1:6...8. Більші розміри сітки дають неточні результати, менші – “тублять” результат розрахунку внаслідок інформаційного “шуму” та вимагають значних обчислювальних ресурсів комп’ютера, оскільки задача є нелінійною.

Контактні напруження визначались на прикладі взаємодії циліндричного ролика  $\phi 36 \times 36$  мм із площиною при зусиллі 5000 Н в середовищі SolidWorks Simulation.

Для одержання зручної для комп’ютерних розрахунків ширини площинки збільшимо зусилля взаємодії до 40000 Н, а довжину ролика зменшимо вдвічі, тобто контактний тиск зросте у 16 разів. Згідно з класичною теорією контактних напружень [9], їх величина пропорційна до кореня квадратного від величини контактного тиску, тому для отримання реальних значень напружень їх треба зменшити у чотири рази.

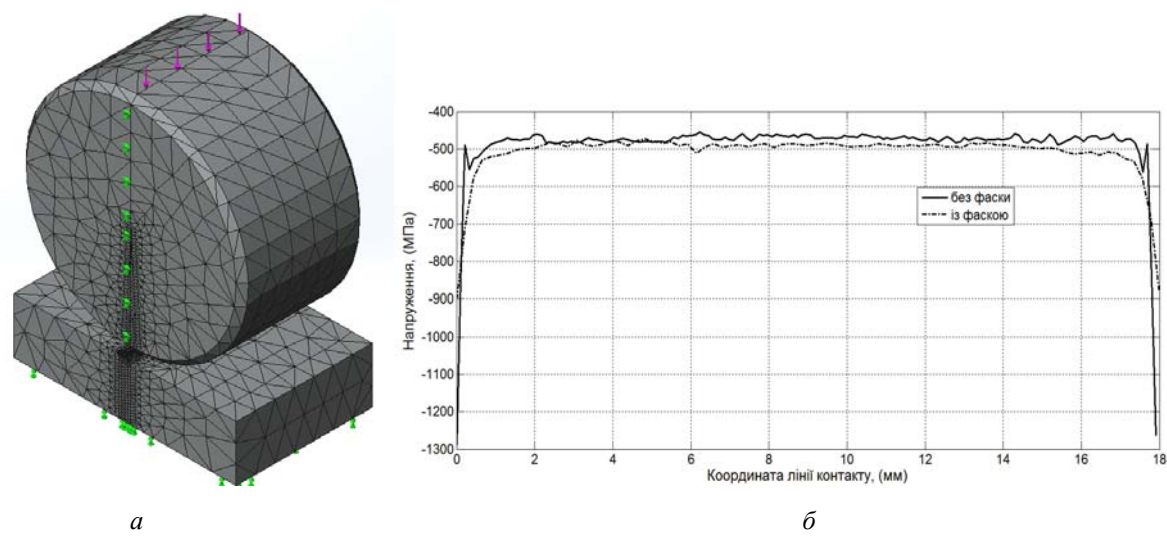


Рис. 2. Розрахункова модель контактної пари (а) і розподіл контактних напружень (б)

Розрахункова модель становить 528,75 МПа. Половина ширини площинки контакту для збільшеного у 16 разів тиску становить 0,663 мм. Тоді приймемо розмір сітки на площинці контакту 0,22 мм (пропорція 1:6). Для зменшення розмірності задачі ролик і площинку спроектуємо “збірними”, тобто в ролик та площинку вставимо сегменти, дещо більші за саму площинку контакту. Власне ці сегменти і розбиватимемо на дрібну сітку, а решту конструкції – на грубшу.

Переміщення площини обмежимо, защемивши її нижню частину, а переміщення ролика залишимо лише у вертикальному напрямку.

Результат розрахунку контактних напружень взаємодії ролика із площею відображеній на рис. 2, б (суцільна крива – ролик без фаски). Як бачимо із рисунка, ці напруження є дещо меншими від аналітично визначених (528,75 МПа), хоча на краях ролика їх значення істотно вищі (1250 – 1300 МПа). Це вказує на значний крайовий ефект, тобто концентрацію напружень на краях ролика. Щодо точності розрахунків, то середнє значення напружень становить -489,25 МПа, а відносна похибка між середніми розрахунковими та аналітично визначеними значеннями напружень –7,5 %, що є прийнятним.

Для зменшення величини концентрації напружень виконаємо на торцях ролика фаски розміром  $1 \times 45^\circ$ , залишивши при цьому довжину контактної лінії незмінною. Результат розрахунку показано на рис. 2, б (штрихпунктирна лінія). Фаска на торцях ролика привела до значного зменшення крайового ефекту, а відносна похибка становить -3,4 %.

Визначення контактних напружень за допомогою аналітичних формул можливе лише для простих форм роликів, тому під час розрахунку контактних напружень модифікованих роликів складнішої форми за допомогою МСЕ слід дотримуватись правил побудови сітки, які давали добру точність у випадку простих форм.

Розглянемо це на прикладі модифікованого ролика (рис. 3). Ролик побудовано за допомогою обертання частини (половини) поперечного перерізу навколо осі обертання. Оскільки ролик не зовсім симетричний, то для розрахунку використаємо його натуральну довжину – 36 мм, а навантаження теж відповідно збільшимо удвічі, а потім результати напружень зменшимо у вісім разів.

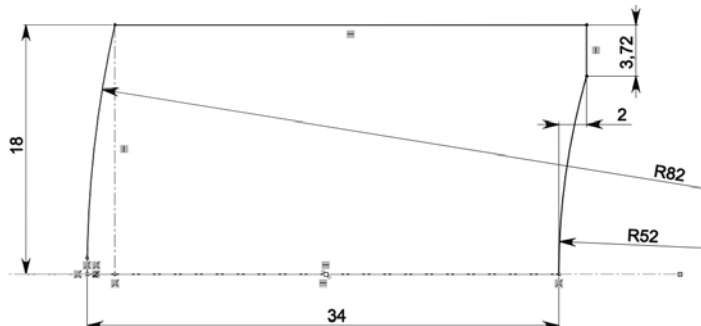
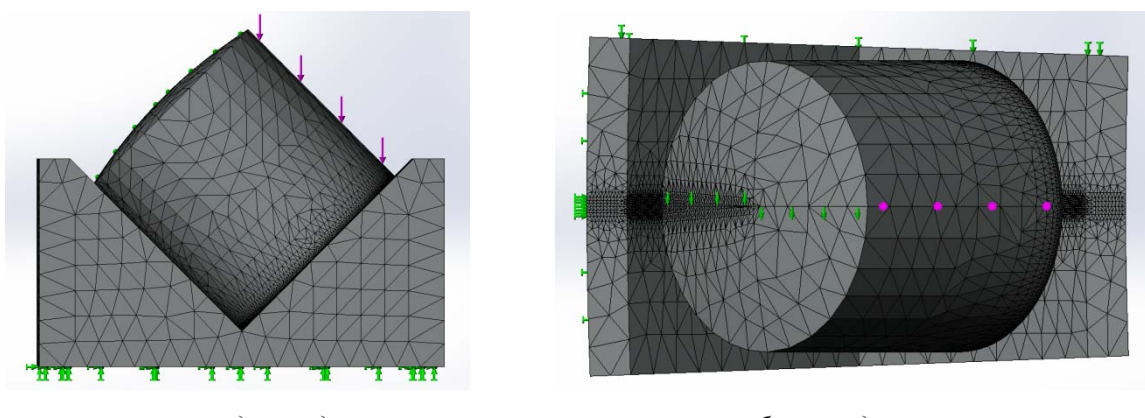


Рис. 3. Форма половини поперечного січення модифікованого ролика

На рис. 4 зображено розрахункову модель модифікованого ролика за його взаємодії із фрагментом кільца опорно-поворотного пристроя. Сітку побудовано за цим самим принципом, що і у попередній моделі.



а – вигляд спереду

б – вигляд зверху

Рис. 4. Розрахункова модель модифікованого ролика

Як зрозуміло з аналізу конструктивної схеми модифікованого ролика та його взаємодії із кільцем опорно-поворотного пристроя, площацка контакту складатиметься із трьох частин. Перша частина буде розташована на бічній поверхні циліндра (внизу), а друга і третя – на його торці, друга внизу торця, третя – у верхній частині торця, оскільки середня частина торця ролика має сферичну виймку (рис. 3).

Результати розрахунку контактних напруженень модифікованого ролика за його взаємодії показано на рис. 5–7.

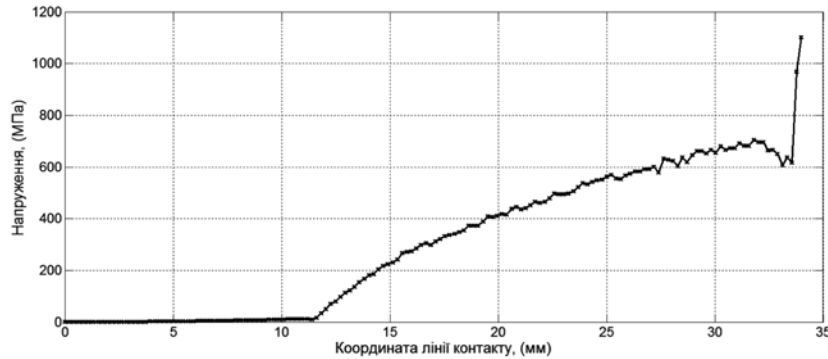


Рис. 5. Контактні напруження на першій ділянці лінії контакту

На рис. 5 показано значення контактних напруженень на першій ділянці лінії контакту (хрестиками відображені вузли сітки скінченних елементів). Як зрозуміло з аналізу рисунка, на нижньому торці ролика присутній концентратор напружень (крайовий ефект).

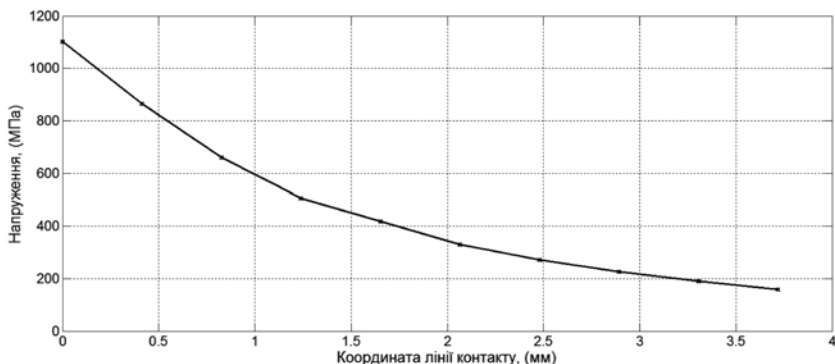


Рис. 6. Контактні напруження на другій ділянці лінії контакту

На рис. 6 показані значення контактних напруженень на другій ділянці лінії контакту. Як зрозуміло із аналізу рис. 5 та 6, напруження із крайового ефекту першої ділянки переходят на другу ділянку, оскільки це є одна спільна точка. Фаска на ролику відсутня.

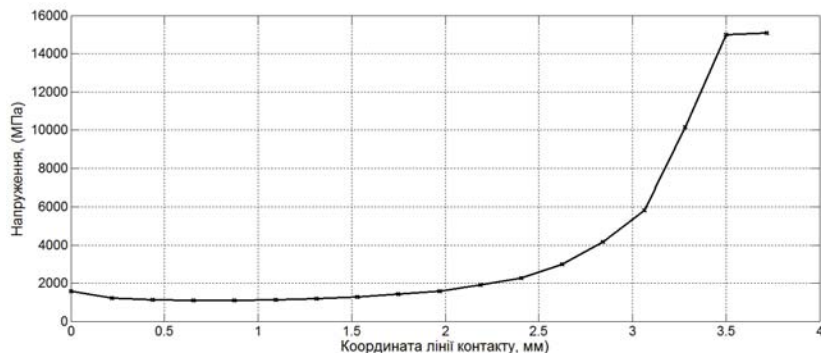


Рис. 7. Контактні напруження на третьій ділянці лінії контакту

На рис. 7 показано значення контактних напружень на третій ділянці контакту. Як зрозуміло з аналізу рис. 7, – це найнапруженіша ділянка ролика із яскраво вираженим крайовим ефектом.

**Висновки.** Проведені дослідження дають необхідну інформацію для адекватного кінцево-елементного моделювання контактної взаємодії модифікованих елементів опорно-поворотних пристрій автокранів і дослідження впливу багатьох геометричних параметрів на їх несучу здатність.

1. Киселев М.М., Вердников В.Г. *Эксплуатация и ремонт опорно-поворотных устройств башенных кранов*: Обзор. – М.: ВНИИС, 1985. – 17 с.
2. Казанский А.М. *О закономерностях распределения контактных нагрузок опорно-поворотных устройств* // Вестник машиностроения. – 1978, – №11. – С. 5–10.
3. Патент України №74569. *Опорно-поворотный пристрій* / М.С. Кобільник, О.П. Швідлер і ін. // 2002.
4. Алямовский А.А. *SolidWorks 2007/2008. Компьютерное проектирование в инженерной практике*. – СПб.: БХВ-Петербург, 2008. – 1040 с.
5. Алямовский А.А. *Инженерные расчеты в SolidWorks Simulation*. – М.: ДМК Пресс, 2011. – 464 с.
6. COSMOSWorks Online Users Guid. *Strucnral Research and Analysis Corporation, USA, 2006*.
7. Галлагер Р. *Метод конечных элементов. Основы* / пер. с англ. – М.: Мир, 1985.
8. Посацький С.Л. *Опір матеріалів*. – Львів: Вид-во Львівського університету. “Вища школа”, 1973. – 403 с.